

# 目 次

## 第九章 施肥机械

|              |       |
|--------------|-------|
| 第一节 肥肥装载机    | IX-1  |
| 1 分类         | IX-1  |
| 2 装配机的设计因素   | IX-2  |
| 第二节 肥肥撒肥车    | IX-4  |
| 1 分类         | IX-5  |
| 2 撒肥车的设计因素   | IX-6  |
| 第三节 矿肥施播机械   | IX-8  |
| 1 分类         | IX-8  |
| 2 矿肥施播机的设计因素 | IX-9  |
| 第四节 液肥喷洒机    | IX-19 |
| 第五节 氨肥施播机    | IX-20 |
| 1 氨水施肥机      | IX-20 |
| 2 液氨施肥机      | IX-20 |
| 参考文献         | IX-21 |

## 第十章 植物保护机械

|               |      |
|---------------|------|
| 第一节 喷雾器       | X-1  |
| 1 喷雾器的类型      | X-1  |
| 2 喷雾器的主要零件和参数 | X-12 |
| 第二节 喷粉器       | X-17 |
| 1 喷粉器的类型      | X-18 |
| 2 喷粉器的主要零件和参数 | X-21 |
| 第三节 细雾器       | X-24 |
| 1 细雾器分类       | X-24 |
| 2 细雾器的构造      | X-24 |
| 3 细雾器特性       | X-24 |
| 第四节 烟雾器       | X-25 |
| 1 烟雾器分类       | X-25 |
| 2 烟雾器特性       | X-25 |
| 3 烟雾器的使用条件    | X-26 |
| 第五节 种子消毒机械    | X-26 |
| 参考文献          | X-27 |

## 第十一章 收获机械

|                       |       |
|-----------------------|-------|
| 第一节 谷物收获机具            | XI-1  |
| 1 谷物收获方法              | XI-1  |
| 2 谷物收割机具及一般特征         | XI-3  |
| 3 谷物联合收割机             | XI-10 |
| 4 谷物收获机具主要工作部件原理结构与设计 | XI-40 |

|                 |        |
|-----------------|--------|
| 第二节 玉米收获机械      | XI-127 |
| 1 类型            | XI-127 |
| 2 主要工作部件        | XI-128 |
| 第三节 薯类甜菜及花生收获机具 | XI-136 |
| 1 马铃薯收获机具       | XI-136 |
| 2 甘薯收获机具        | XI-148 |
| 3 甜菜收获机具        | XI-149 |
| 4 花生收获机具        | XI-164 |
| 第四节 棉花收获机械      | XI-165 |
| 1 类型            | XI-165 |
| 2 主要工作部件        | XI-170 |
| 参考文献            | XI-180 |

## 第十二章 加工机械

|                        |         |
|------------------------|---------|
| 第一节 谷物脱粒机具             | XII-1   |
| 1 谷物脱粒机具的类型            | XII-1   |
| 2 谷物脱粒机的基本参数           | XII-4   |
| 3 脱粒机的工作机构             | XII-10  |
| 4 谷物脱粒机的试验             | XII-21  |
| 第二节 谷物清选机械             | XII-21  |
| 1 风选机                  | XII-26  |
| 2 筛选机                  | XII-30  |
| 3 离心式清选机               | XII-38  |
| 4 复式清选机                | XII-46  |
| 5 摩擦分离机                | XII-46  |
| 6 电磁清选机                | XII-54  |
| 7 其它清选机                | XII-55  |
| 8 谷物清选机的试验             | XII-57  |
| 第三节 农用烘干机              | XII-60  |
| 第四节 莓叶纤维作物初加工机械        | XII-77  |
| 1 机具的类型                | XII-77  |
| 2 纤维初加工机械的主要部件的工作原理与计算 | XII-82  |
| 3 棉花初加工机械              | XII-85  |
| 第五节 其他加工机械             | XII-93  |
| 1 玉米脱粒机具               | XII-93  |
| 2 花生剥壳机                | XII-98  |
| 3 块根洗涤机                | XII-98  |
| 4 块根切片、切丝机具            | XII-101 |
| 5 颗粒肥料制造机              | XII-104 |
| 参考文献                   | XII-106 |

**第十三章 牲畜机械**

|                     |        |
|---------------------|--------|
| <b>第一节 干草收获机械</b>   | III-1  |
| 1 割草机               | III-1  |
| 2 捣草机与翻草机           | III-14 |
| 3 集草器               | III-22 |
| 4 拾起集堆机、拾起集垛机及拾起装载机 | III-23 |
| 5 柴草机               | III-27 |
| 6 拾起压缩机及固定式压缩机      | III-37 |
| <b>第二节 青饲料收获机</b>   | III-32 |
| 1 类型                | III-32 |
| 2 主要工作部分            | III-35 |
| <b>第三节 饲料切断机</b>    | III-40 |
| 1 切断机的构造            | III-40 |
| 2 切断机的工作过程          | III-41 |
| 3 现有各种饲料切断机的特性      | III-42 |
| 4 切断机的主要部件设计        | III-42 |
| <b>第四节 饲料蒸煮器</b>    | III-50 |
| 1 饲料蒸煮器的类型          | III-50 |
| 2 蒸汽式蒸煮器            | III-50 |
| 3 电热式蒸煮器            | III-53 |
| <b>第五节 饲料粉碎机</b>    | III-54 |
| 1 锤式饲料粉碎机           | III-55 |
| 2 磨                 | III-62 |
| <b>第六节 饮水器</b>      | III-65 |
| 1 自动饮水器的类型及结构       | III-65 |
| <b>第七节 挤奶装置</b>     | III-67 |
| 1 挤奶的技术要求及工作原理      | III-67 |
| 2 挤奶装置的类型、结构及其作用原理  | III-67 |
| <b>第八节 牛奶分离机</b>    | III-71 |
| 1 牛奶分离机的类型及其结构      | III-71 |
| 2 牛奶分离机的工作过程分析      | III-74 |
| <b>第九节 剪羊毛机械</b>    | III-75 |
| 1 类型及其结构            | III-75 |
| 2 设计与计算             | III-79 |
| 参考文献                | III-80 |

**第十四章 农用提水机械**

|                    |       |
|--------------------|-------|
| <b>第一节 水车及提水工具</b> | IV-1  |
| 1 类型规格             | IV-1  |
| 2 解放式水车的简单计算       | IV-3  |
| 3 解放式水车管链的零件规格     | IV-4  |
| <b>第二节 冲击式扬水机</b>  | IV-8  |
| <b>第三节 水轮泵</b>     | IV-11 |
| 1 水轮泵的结构原理         | IV-13 |
| 2 水轮泵的性能参数         | IV-15 |

|                      |       |
|----------------------|-------|
| <b>第四节 深井水泵</b>      | IV-16 |
| 1 往复式深井泵             | IV-16 |
| 2 离心式深井泵             | IV-19 |
| 3 水流揭水泵              | IV-22 |
| 4 压缩空气揭水泵            | IV-23 |
| <b>第五节 人工降雨机</b>     | IV-25 |
| 1 远射程人工降雨机           | IV-26 |
| 2 短射程人工降雨机           | IV-38 |
| <b>第六节 叶片式水泵</b>     | IV-17 |
| 1 离心泵                | IV-17 |
| 2 轴流泵                | IV-48 |
| 3 混流泵                | IV-55 |
| <b>第七节 内燃水泵</b>      | IV-56 |
| 1 概述                 | IV-56 |
| 2 基本类型及工作原理          | IV-56 |
| 3 几种内燃水泵的构造与性能简介     | IV-59 |
| <b>第八节 提水工具的试验测定</b> | IV-71 |
| 1 水量                 | IV-71 |
| 2 揭程                 | IV-73 |
| 3 管路中水头损失            | IV-74 |
| 4 有效功率               | IV-79 |
| 5 水泵的轴功率             | IV-79 |
| 6 水泵效率               | IV-79 |
| 7 燃料消耗量              | IV-79 |
| 8 压力                 | IV-79 |
| 9 气体分析               | IV-79 |
| 参考文献                 | IV-80 |

**第十五章 农用动力**

|                         |      |
|-------------------------|------|
| <b>第一节 人力</b>           | V-1  |
| 1 农业机械与人力               | V-1  |
| 2 人力的力学概述               | V-1  |
| 3 能量代谢率及工作等级(劳动能力消费的指标) | V-1  |
| <b>第二节 畜力</b>           | V-3  |
| 1 中国农用役畜的种类及其分布         | V-3  |
| 2 畜力利用的方式               | V-3  |
| 3 役畜的牵引力速度与功率           | V-3  |
| 4 役畜的驮负能力               | V-8  |
| <b>第三节 风力机</b>          | V-9  |
| 1 综言                    | V-9  |
| 2 风力机的基本理论              | V-11 |
| 3 风力机的设计与计算             | V-16 |
| 4 风力机安装地点的选择            | V-40 |
| 5 风力机的实际结构              | V-41 |

|                         |        |                           |        |
|-------------------------|--------|---------------------------|--------|
| <b>第四节 水輪机</b>          | XI-50  | <b>液压式拉力、压力仪</b>          | XII-10 |
| 1 水輪机的分类和应用             | XI-50  | 电拉力环                      | XII-14 |
| 2 水輪机的选型設計              | XI-53  | <b>2 扭矩測量</b>             | XII-16 |
| <b>第五节 鋸駝机</b>          | XI-66  | 机械彈簧式扭矩仪                  | XII-16 |
| <b>第六节 内燃机</b>          | XI-67  | 液压式扭矩仪                    | XII-18 |
| 1 汽油机                   | XI-67  | 电扭矩仪                      | XII-21 |
| 2 柴油机                   | XI-69  | <b>3 轉速、加速度和振动的測量</b>     | XII-21 |
| 3 煤气机                   | XI-83  | 轉速測量                      | XII-23 |
| 4 内燃机改装酒精机              | XI-83  | 振动及加速度的測量                 | XII-24 |
| <b>第七节 电动机</b>          | XI-86  | <b>第四节 綜合測力仪器</b>         | XII-25 |
| 1 电动机的类型                | XI-86  | 1 DLT-2 型测力車              | XII-25 |
| 2 电动机的特性                | XI-86  | 2 示波車                     | XII-26 |
| 3 电动机种类、电压、型号及轉速的选择     | XI-89  | 放大器的工作原理                  | XII-26 |
| 4 电动机的系列                | XI-90  | 振子示波器                     | XII-31 |
| <b>第八节 拖拉机</b>          | XI-103 | <b>第五节 土壤及作物的物理机械性能試驗</b> |        |
| 1 我国拖拉机系列表              | XI-103 | 仪器                        | XII-31 |
| 2 国产拖拉机的簡要技术規格          | XI-109 | 1 测土壤坚实度的仪器               | XII-31 |
| 3 几种主要进口拖拉机的簡要技术規格      | XI-111 | 2 土块强度仪                   | XII-32 |
| <b>第九节 绳索牵引机</b>        | XI-115 | 3 塑秆抗力测定仪                 | XII-32 |
| 1 人、畜力绳索牵引机             | XI-115 | 4 脱粒性分级仪                  | XII-33 |
| 2 动力绳索牵引机               | XI-116 | 5 塑秆延伸仪                   | XII-34 |
| 3 绳索牵引农具                | XI-119 | 6 摆锤式塑秆拉断仪                | XII-34 |
| 参考文献                    | XI-121 | 7 小拉力仪                    | XII-35 |
| <b>第十六章 农业机械試驗研究用仪器</b> |        |                           |        |
| <b>第一节 测量仪器的感受元件</b>    | XII-1  | 8 塑秆与土壤结合力的测定仪            | XII-35 |
| 1 机械式感受元件               | XII-1  | 9 塑秆动載荷强度测定仪              | XII-36 |
| 螺旋弹簧                    | XII-1  | 10 动摩擦测定仪                 | XII-36 |
| 板弹簧                     | XII-2  | 11 粗塑秆作物切削仪               | XII-37 |
| 柱状弹簧                    | XII-2  | <b>第六节 試驗記錄的整理方法</b>      | XII-37 |
| 2 液压感受元件                | XII-3  | 1 求积法                     | XII-37 |
| U形压力管                   | XII-3  | 2 纵座标法                    | XII-37 |
| 3 电变换器                  | XII-5  | 3 峰值法                     | XII-39 |
| 电阻絲变换器                  | XII-5  | 4 变量曲綫及其应用                | XII-40 |
| 电感变换器                   | XII-5  | 参考文献                      | XII-41 |
| 电容变换器                   | XII-6  | <b>第十七章 农业技术資料</b>        |        |
| <b>第二节 应力测量</b>         | XII-6  | <b>第一节 土壤与耕作</b>          | XII-1  |
| 1 机械式应变仪                | XII-6  | 1 中国土壤分布区域                | XII-1  |
| 2 用电阻絲变换器測量应用           | XII-6  | 2 土壤母质的种类                 | XII-2  |
| 应力測量的普遍形式               | XII-6  | 3 土壤的組成                   | XII-2  |
| 圆柱体上的应力測量               | XII-9  | 4 土壤的机械組成                 | XII-2  |
| 3 用偏振光法測量应力             | XII-9  | 5 土壤结构                    | XII-4  |
| 4 用薄膜法測量应力              | XII-9  | 6 土壤水                     | XII-5  |
| <b>第三节 动力測量</b>         | XII-10 | 7 土壤的物理机械性狀               | XII-7  |
| 1 拉力、压力的測量              | XII-10 | 8 北方旱作地区耕作法               | XII-17 |
| 机械彈簧式拉力仪                | XII-10 | 9 南方水稻地区耕作法               | XII-19 |
|                         |        | 10 东北地区耕作耕作法              | XII-21 |

|                       |                |
|-----------------------|----------------|
| 11 黄河中游黄土地区坡地治理耕作法    | III-23         |
| <b>第二节 肥料</b>         | <b>III-28</b>  |
| 1 肥料的分类               | III-28         |
| 2 植物体生长所需要的元素         | III-29         |
| 3 农作物缺肥的一般特征          | III-29         |
| 4 施肥技术                | III-30         |
| 5 农家肥料                | III-30         |
| 6 化学肥料                | III-34         |
| 7 细菌肥料                | III-42         |
| 8 颗粒肥料                | III-43         |
| 9 各种肥料混用及作物需肥量        | III-43         |
| <b>第三节 作物</b>         | <b>III-44</b>  |
| 1 我国主要作物的轮作方式         | III-44         |
| 2 我国主要作物的栽培措施         | III-51         |
| 3 作物物理机械性状            | III-60         |
| 4 农作物生产农事季节           | III-127        |
| <b>第四节 植物保护用农药</b>    | <b>III-157</b> |
| 1 农药的使用形态             | III-157        |
| 2 农药的分类               | III-157        |
| 3 农药的施用方法             | III-158        |
| 4 常用的几种植物保护用农药及其混合使用法 | III-160        |
| 5 数种农药对各种金属的腐蚀程度      | III-168        |
| <b>参考文献</b>           | <b>III-170</b> |

**附录**

|                            |             |
|----------------------------|-------------|
| <b>一 农业机械随车附带工具</b>        | <b>附-1</b>  |
| 1 板手                       | 附-1         |
| 2 螺丝刀                      | 附-4         |
| 3 局壁                       | 附-4         |
| 4 锤                        | 附-4         |
| 5 打眼器                      | 附-4         |
| 6 平口钳                      | 附-4         |
| 7 油壶                       | 附-4         |
| 8 油枪                       | 附-4         |
| <b>二 机器标牌</b>              | <b>附-6</b>  |
| <b>三 燃料</b>                | <b>附-8</b>  |
| 1 固体燃料                     | 附-8         |
| 2 液体燃料                     | 附-10        |
| 3 气体燃料                     | 附-11        |
| <b>四 润滑油及润滑脂</b>           | <b>附-13</b> |
| <b>五 拖拉机的工作装置</b>          | <b>附-15</b> |
| 1 动力输出轴                    | 附-15        |
| 2 皮带轮                      | 附-15        |
| 3 农用拖拉机的牵引装置               | 附-16        |
| 4 国外几种拖拉机的动力输出轴，牵引点，皮带轮的数据 | 附-1         |

## 第十五章 农用动力

### 第一节 人 力

#### 1 农业机械与人力

在农业生产中，人力以两种方式被使用：一种是直接被使用，即使用简单工具，凭体力执行农业操作；一种是间接被使用，即操纵自动的农业机械。

农业机具设计者的任务不仅是要设计出好的简单农具和代替人力的机器，还要使操纵、使用这些机具所费的能量减至最小限度。

表 15-1 列出了操纵一般机械传动的操纵机构所需的力。目前农业机械已有普遍使用起液压操纵和增力器的趋势以减少操纵时的劳累。

表 15-1 施于各种操纵机构上的力（公斤）

|          |           |
|----------|-----------|
| 施于操纵杆上的力 | 不大于 18~20 |
| 施于方向盘上的力 | 不大于 16~18 |
| 施于踏板上的力  | 不大于 25~30 |

减少人的劳动能量的消费的另一方面是使农业机具的使用者或操纵者工作时更便利，更舒适。因此简单农具最合理的使用方式，农业机器操纵机构的位置的安排，操纵者座位的舒适等都是设计中的重要问题。

#### 2 人力的力学概述

人体各部分所能发出的力量，每人都不相同，除体力强弱不同外，劳动习惯的不同也能造成很大差异，为了便于读者进行分析，今特就日本田中作治教授有关人力力学方面的研究结果介绍如下。

人的力量大致可分为最大瞬力（一瞬间倾全部体力所能产生之力），最大静力（数秒钟内能努力保持之力）和适力（一日八小时内能愉快地胜任的力）三种。如以体重的百分数表示，则人体各部所能产生的力约如表 15-2 所示。

后退方向所能产生的力与前进方向所能产生的力的比值约为 2:1。

人体各部所能产生的能量的比例如下：足-6，腰

-5，肩-3，头-2，手-2。

表 15-2 人的力量（以体重作为 100）

| 作业种类         | 最大静力 (%) | 适力 (%) |
|--------------|----------|--------|
| 两足踏下之力       | 100      | 100    |
| 一足踏下之力       | 75       | 59     |
| 一肩担力         | 105      | 10     |
| 两手提力         | 200      | 8      |
| 一手提力         | 100      | 6      |
| 腰的水平拉力（前进方向） | 36       | 11     |
| 一肩水平拉力（前进方向） | 18       | 10     |
| 一手水平拉力（前进方向） | 30       | 3      |

如要改变力的方向，就需要消费一部分体力来克服惯性，这是一种损失；因此在经常改变力的方向的作业中，人的作功能力将减少。一般情况如表 15-3 所示。

表 15-3

|             |      |
|-------------|------|
| 定向直线运动所能作的功 | 100% |
| 旋转曲柄所能作的功   | 67%  |
| 往复直线运动所能作的功 | 50%  |

#### 3 能量代谢率及工作等级

（劳动能力消费的指标）

劳动强度不同的作业所消耗的能量用能量代谢率进行比较，能量代谢率的意义可用下式表示：

$$\text{能量代谢率} = \frac{\text{劳动代谢量}}{\text{基础代谢量}}$$

$$= \frac{\text{作业时消费的能量} - \text{安静时消费的能量}}{\text{基础代谢量}}$$

基础代谢量是维持生命所必需的能量，与劳动无关。

能量代谢率的值在 1~2 之间的可以认为是轻作业，2~4 是中等作业，4~7 是重作业，7 以上是极重作业。表 15-4 是日本男子的各种农业作业的能量代谢率。

表15-4 各种农作业的能量代谢率(日本男子)

| 农业作业          | 能量代谢率 |
|---------------|-------|
| 人力翻地(15厘米,旱田) | 10.3  |
| 人力碎土(旱田)      | 9.0   |
| 拖拉机耕地(旱田)     | 2.0   |
| 人力耕耘机中耕(旱田)   | 6.0   |
| 手扶拖拉机中耕(旱田)   | 4.5   |
| 刈稻(普通镰刀)      | 6.7   |

我国目前还没有关于各种农业作业的能量代谢率的研究资料,但各地农业合作社为了便于按劳计酬常将各种农业作业按作业类别及每日工作量分成若干等级(十级左右)。这种工作等级可以大致反映能量消耗程度。但各地农业合作社所分等级颇有出入,表15-5仅是一个典型的例子。

表15-5 农业作业的工作等级①

| 工作等级 | 作业名称                               | 每日规定工作量   | 工作内容与质量要求   |
|------|------------------------------------|---|---|
| 1    | 耖田(水田)<br>插秧                       | 10~14亩<br>1.2亩(连作早稻)<br>2亩(间作早稻)  | 横耖,直耖,耖平<br>行株距5寸×5寸,每株8~10根<br>株距8寸,行距5寸,每株8~10根   |
| 2    | 耕田<br>播种(水稻)<br>挑稻                 | 头耕 3.5~4.5亩<br>二耕 7~13亩<br>三耕 12~20亩<br>160~200斤(二亩)<br>80担, 100步<br>55担, 200步<br>40担, 400步 | 深5寸,耕得密,不留犁埂<br>深5寸,耕得密,不留犁埂<br>深5寸,耕得密,不留犁埂<br>播种<br>} 每担稻把36个                               |
| 3    | 翻白田②<br>堆稻                         | 0.8亩<br>7亩  | 翻到底,扎空③<br>堆齐,放好,36个稻把一堆  |
| 4    | 选、浸水稻种籽<br>下肥田粉<br>车水              | 200斤<br>40亩, 400斤<br>入脚踏车水600轉  | 泥水选,浸一天,晒二天,每天排水三次<br>递细,撒匀<br>以2丈车为标准,水要入沟   |
| 5    | 盖秧灰<br>施肥<br>拔秧<br>耘田(水田)<br>耥耙    | 2亩<br>2.5亩<br>650只<br>1.7亩<br>14丈   | 筛灰,挑灰,盖匀,谷子盖满<br>每亩5担,挑粪,浇匀<br>秧根拔齐,不断,不带泥<br>补缺棵,草除光,埋稻根<br>单面光,结实平整,面阔12寸<br>底阔15寸<br>高 10寸 |
|      | 耖白田<br>播草籽                         | 0.6亩<br>30亩   | 每亩6斤,播匀   |
| 6    | 耙田(一次,水田)<br>耙田(二次,水田)<br>拔菜<br>割麦 | 12~20亩<br>20~30亩<br>4亩(每亩60斤以上的上等田)<br>1.3亩   | 对耙<br>对耙<br>泥去净,放整齐   |
| 7    | 捆麦<br>耥菜                           | 4亩<br>1亩  | 捆紧,捆齐,不漏落<br>耥牢,大行8寸,小行4寸,不断根,耥得直   |
| 8    | 刺菜潭<br>打菜潭<br>盖粪泥                  | 3亩<br>2亩<br>3亩  | 大行8寸,小行4寸,刺匀<br>大行8寸,小行4寸,打匀<br>潭潭齐,盖平,不漏盖  |
| 9    | 盖毛灰                                | 4亩  | 潭潭齐,盖平,不漏盖  |

① 本表摘自浙江省龙游农业社劳动定额手册。

② 为前一年未种植之休耕田。

③ 扎空。

## 第二节 畜 力

### 1 中国农用役畜的种类及其分布

中国农用役畜以黄牛、水牛、马、驴、骡等为主，其分布受自然环境及主要作物的分布的影响。

中国主要农作物的分布可以秦岭、淮河为分水岭，秦岭以北，包括淮河、皖水及河南的一部分，是中国主要的麦作区域；秦岭以南是主要的稻作区。在水稻区域，役畜以水牛最重要，黄牛次之，驴马第三。在麦作区驴马及黄牛是主要役畜，几乎无水牛。

纯种农用役畜的具体分布尚无调查资料。表15-6仅说明各类役畜的分布概况，包括非农用役畜。

表15-6 中国役畜分布概况

| 役畜名称 | 分布概况                            |
|------|---------------------------------|
| 水牛   | 四川、广西、广东、湖南、湖北、江西、安徽及江苏等省最多     |
| 黄牛   | 全国各地；河南、山东、湖北及东北等地最多            |
| 马    | 东北最多；西北、华北及内蒙古等地次之              |
| 驴    | 全国各地；山东、河北、河南最多；新疆、江苏、东北及甘肃等地次之 |
| 骡    | 东北、河北最多；山西、河南次之；华东、中南等地最少       |

### 2 畜力利用的方式

表 15-7

| 利 用 方 式     |      | 实 例  |
|-------------|------|--|
| 利 用 体 重     | 直接利用 | 踏谷、压实土壤等   |
|             | 间接利用 | 踏行式畜力原动机(我国很少)                                   |
| 利 用 牵 引 力   | 直进牵引 | 直接利用：牵引一般农具，牵引车辆<br>间接利用：通过杠杆或滑轮机构进行搬运、举重、卷扬、拔树等 |
|             | 迴轉牵引 | 直接利用：拉磨、碾米等<br>间接利用：利用畜力拖动固定式旋转作业机具，如水车、绳索牵引机等   |
| 利 用 耐 负 能 力 |      | 驮运、乘骑等   |

### 3 役畜的牵引速度与功率

#### 牵 引 力

影响役畜牵引力的因素有性别、年龄、体质、体重、牵引速度、牵引方法、作业场所及作业时间等。

牵引力可分为常用牵引力、瞬时牵引力及最大牵引力等三种，分述如下：

**常用牵引力或工作牵引力** 是役畜以一定速度，工作一定长时间的正常牵引力。

常用牵引力常以役畜的体重的百分数表示，如表15-8。

表15-8 马的牵引力

| 型 别 | 体 重<br>(公斤) | 牵 引 力<br>(体重的百分数) |
|-----|-------------|-------------------|
| 轻 型 | 300~400     | 15~20             |
| 中 型 | 400~600     | 13~15             |
| 重 型 | 600~800     | 11~14             |
| 超重型 | 800以上       | 10~12以下           |

常用牵引力的计算公式很多，常用的有表15-9中所列几个，各地可根据当地畜力的实际情况加以选用。

**瞬时牵引力** 是役畜在短瞬的时间内所能产生的牵引力。瞬时牵引力常为正常牵引力的数倍。这是畜力的重要特征之一。

**最大牵引力** 如使役畜所牵引的负荷逐渐增大，直到役畜牵引不动时，这时的牵引力就是最大牵引力。

最大牵引力是役畜牵引能力的一种表现方式。测量最大牵引力的常用的方法是使役畜牵引铧式犁，逐渐增加耕深，至役畜拉不动为止。也有使役畜牵引木制耙犁，在耙犁上逐渐增加重物以测定最大牵引力。

我国各种良种役畜的最大牵引力如表15-10所示。

#### 多头役畜牵引

用多头役畜牵引时，每头役畜所能产生的牵引力随头数的增加而递减。实际的总牵引力小于每头役畜单独牵引时所能产生的牵引力的总和。其值可根据波氏(Bockelberg)公式计算。

$$P_n = 1.075(1 - 0.07n)P \times n$$

表15-9 牵引力的計算方法

|   |   |                       |
|---|---|-----------------------|
| 1.B. H. 哥里亞奇金公式:<br>$P = \frac{1}{9} G$                             | $P$ —馬的牽引力(公斤);<br>$G$ —馬的體重(公斤)  | 僅適用於馬的牽引力計算           |
| 2.B. D. 謝列芝涅夫公式:<br>$P = \left(\frac{H}{20}\right)^2$               | $P$ —馬的牽引力(公斤);<br>$H$ —馬的肩胛高度(厘米)  | 僅適用於馬的牽引力計算           |
| 3. 金(King)氏公式:<br>$P' = C \times \frac{P}{v}$ ①                     | $P$ —馬在速度為4.023公里/小時時的牽引力，約為 $G/8$<br>$\sim G/10$ , $G$ —馬的體重(公斤);<br>$v$ —馬的速度，在1.20~6.45公里/小時之間(公里/小時);<br>$P'$ —馬在速度為 $v$ 時的牽引力(公斤);<br>$C$ —4.023(試驗常數) | 僅適用於馬的牽引力計算           |
| 4. 武田氏公式:<br>$P = G - 400\left(\frac{v}{5}\right) - 215\frac{T}{8}$ | $P$ —牽引力(公斤);<br>$G$ —馬的體重(公斤);<br>$v$ —馬的速度(米/秒);<br>$T$ —一日內工作時數(小時)  | 僅適用於挽馬，且牽引繩的傾斜角為6°~7° |

① 金氏公式原用英制單位， $P'$  及  $P$  之單位為磅， $v$  之單位為哩/小時， $P$  為速度為 2.5 哩/小時時的牽引力，在此情形下  $C = 2.5$ 。

表15-10 各種役畜最大牽引力

| 類 別 | 產 地 | 性 別 | 體 重<br>(平均)(公斤)        | 最 大 牽 引 力<br>(平均)(公斤)   | 最 大 牽 引 力 为 体 重<br>的 百 分 数 ①(%) | 測 驗 头 数 |
|-----|-----|-----|------------------------|-------------------------|---------------------------------|---------|
| 馬   | 三河  | 母   | 397.5(輕型)<br>467.4(中型) | 300<br>340<br>(220~450) | 75.55<br>73.90                  | 2<br>11 |
|     | 三河  | 母   |                        |                         |                                 |         |
| 驢   | 關 中 | 公   | 261.4<br>(219~314)     | 246.6<br>(190~300)      | 93.76<br>(79.5~107.3)           | 10      |
|     | 關 中 | 母   | 266.75<br>(216~304)    | 185.63<br>(130~230)     | 69.32<br>(60.19~84.98)          | 8       |
|     | 鳳翔  | 公   | 170.5(小型)              | 107.5                   | 63.33                           | 2       |
|     | 鳳翔  | 母   | 208(小型)                | 171.6                   | 83.26                           | 3       |
| 驢   | 關 中 | 母   | 415.4<br>(383~442)     | 358<br>(320~400)        | 86.38<br>(76.92~96.62)          | 5       |
| 黃牛  | 秦 川 | 公   | 618<br>(555~676)       | 398<br>(360~450)        |                                 | 3       |
|     | 秦 川 | 母   | 396.4<br>(285~448)     | 252<br>(190~355)        |                                 | 9       |
|     | 秦 川 | 驥   | 546.3<br>(306~705)     | 312.5<br>(160~450)      |                                 | 20      |
|     |     |     |                        |                         |                                 |         |

① 所列數值是各頭測驗役畜的最大牽引力為其體重的百分數的平均值。

式中  $P_n$ — $n$ 頭役畜的總牽引力(公斤);

$n$ —頭數;

$P$ —一头役畜的正常牽引力(公斤)。

運行牽引

役畜在迴轉牽引時的牽引力隨役畜的種類、體尺

及迴轉半徑而不同；一般都隨迴轉半徑的減小而減小；如表 15-11 所示。但牛迴轉時牽引力的減小程度比馬的小。驴在農村中是被認為最適於迴轉牽引的，但缺乏具體調查資料證明。

表 15-11

|         |     |    |     |    |     |    |     |    |
|---------|-----|----|-----|----|-----|----|-----|----|
| 迴轉半徑(米) | ∞   | 6  | 5.5 | 5  | 4.5 | 4  | 3.5 | 3  |
| 牽引力比值   | 100 | 83 | 82  | 80 | 78  | 75 | 72  | 66 |

## 速 度

役畜的速度與其種類、性別、年齡、體尺、負荷及工作場所等因素有關。牛馬徒步及耕耘時的速度如表 15-12 所示。驥與馬的工作速度相差不多。公馬與母馬的速度差異很小，母牛的速度比公牛差。

表 15-12 馬與牛的速度

| 役 畜 | 徒步或耕耘 |    | 速度(米/秒)  |
|-----|-------|----|----------|
|     | 徒步    | 耕耘 |          |
| 馬   | 徒步    |    | 0.9~1.5  |
|     | 耕耘    |    | 0.9~1.1  |
| 牛   | 徒步    |    | 0.5~0.85 |
|     | 耕耘    |    | 0.5~0.65 |

## 牽引力、速度與工作時間

捷克馬色克 (Maschek) 氏認為各種役畜在牽引力、速度及工作時間三者的組合上都有它們特有的最適當的常用值。在具體情況下，牽引力、速度及工作時間都可以和最適當的常用值不同，但三者之間有一定關係，這關係是：

$$\frac{P'}{P} + \frac{\nu'}{\nu} + \frac{T'}{T} = 3,$$

表 15-15 作業類別與役畜的馬力

| 作業類別 | 平均體重<br>(公斤) | 常用牽引力<br>(公斤) | 速 度<br>(米/秒) | 一日中的作功量<br>(公斤米) | 功率(約計)<br>(馬力) |
|------|--------------|---------------|--------------|------------------|----------------|
| 直進牽引 | 馬            | 400           | 60           | 1.1              | 1900800        |
|      | 牛            | 350           | 65           | 0.75             | 1404000        |
|      | 驥            | 250           | 40           | 1.1              | 1267200        |
| 迴轉牽引 | 馬            | 300           | 45           | 0.9              | 1166400        |
|      | 牛            | 350           | 65           | 0.6              | 1123200        |
|      | 驥            | 250           | 30           | 0.9              | 777600         |

式中  $P$ ——最適當的常用牽引力；

$\nu$ ——最適當的常用速度；

$T$ ——最適當的工作時數；

$P'$ ——具體情況下的牽引力；

$\nu'$ ——具體情況下的速度；

$T'$ ——具體情況下的工作時數。

上式中各項均無因次，故與所用單位无关。

各種役畜的最適當的常用牽引力、速度及工作時間應根據該役畜長期試驗研究的結果確定。表 15-13 乃取自國外資料，可供參考。

表 15-13 各種役畜的速度、牽引力及工作時數

| 畜 别        | 速 度<br>(米/秒) | 平均牽引力<br>(公斤) | 工作時數<br>(小時) |
|------------|--------------|---------------|--------------|
| 馬(體重300公斤) | 1.10         | 57            | 8            |
| 馬(體重450公斤) | 1.25         | 60            | 8            |
| 牛          | 0.65         | 65            | 8            |
| 驥          | 1.00         | 45            | 8            |
| 驢          | 0.80         | 40            | 8            |

## 役畜的工作能力

役畜的工作能力常以牠們所能產生的功率或者用在一定時間內牠們所作的總功量和在作一定量工作後呼吸及體溫恢復所需時間來表示。

役畜的工作能力與其體重、體尺、作業類別、牽引方法等有關。表 15-14、表 15-15 及表 15-16 是馬

表 15-14 役馬一日中所作之功

| 體重<br>(公斤) | 牽引力<br>(公斤) | 速 度<br>(米/秒) | 一日中的工作<br>時數(小時) | 一日中所作的功<br>(公斤米) |
|------------|-------------|--------------|------------------|------------------|
| 300        | 30.58       | 1.0          | 10               | 1100880          |
| 500        | 50.96       | 1.0          | 10               | 1834560          |
| 700        | 71.35       | 1.0          | 10               | 2568600          |

的工作能力。表 15-17 是我国各地黄牛的耕作能力。

因为役畜在短瞬的时间内能产生出比正常工作牵引力大数倍的牵引力，所以在短瞬时间内的功率也会数倍于正常功率。如表 15-16 所示。

表 15-16 短时间内役畜所能产生的马力

(直进牵引)

| 时间或距离  | 牵引力(公斤) | 速度(米/秒) | 马力   | 体重(公斤) | 资料来源 |
|--------|---------|---------|------|--------|------|
| 0~5 分  | 85      | 1.8     | 1.35 |        | 英    |
| 0~30 分 | 75      | 1.13    | 1.13 |        |      |
| 2 小时   | 75      | 1.13    | 1.13 | 522    | 澳    |
|        | 112     | 0.92    | 1.38 | 565    |      |
| 200 米  | 95      | 1.70    | 2.95 | 530    | 澳    |
|        | 98      | 2.28    | 2.92 | 500    |      |

### 牵引力学要点

役畜的重心 役畜的重心可由测量役畜静止直立

表 15-17 国内黄牛耕作能力比较表

| 地区  | 性别   | 体重(头数)(公斤) | 使用工具  | 土壤         | 耕深(厘米) | 耕宽(厘米) | 耕作面积(米 <sup>2</sup> ) | 耕作时间(分·秒) | 牵引力(公斤) | 速度(米/秒) | 功率(马力) | 耕作能力(亩/小时) | 牵引力/体重 | 呼吸恢复正常所需的时间(分·秒) |
|-----|------|------------|-------|------------|--------|--------|-----------------------|-----------|---------|---------|--------|------------|--------|------------------|
| 南阳  | 公(1) | 555.7      | 7寸步犁  | 黄土         | 16.5   |        | 459.8                 | 50—0      | 94.9    | 0.63    |        | 0.83       |        | 5—0              |
|     | 母(1) | 365.8      | 7寸步犁  | 黄土         | 17.5   |        | 245.8                 | 43—4      | 83.5    | 0.5     |        | 0.57       |        | 10—0             |
| 广丰  | 公(3) | 327.0      | 本地水田犁 | 潮湿壤土       |        |        |                       | 64—0      | 76.3    | 0.61    | 0.62   | 0.92       | 0.23   | 40—0             |
|     | 公(4) | 364.7      | 本地水田犁 | 潮湿壤土       |        |        |                       | 64—0      | 78.0    | 0.74    | 0.76   | 0.92       | 0.21   | 55—0             |
|     | 母(4) | 343.2      | 本地水田犁 | 潮湿壤土       |        |        |                       | 58—7      | 69.5    | 0.74    | 0.73   | 0.87       | 0.28   | 32—0             |
| 吉安  | 公(4) | 333.2      | 本地水田犁 | 中壤土<br>轻粘土 |        |        |                       | 86—38     | 77.2    | 0.78    | 0.75   | 0.54       | 0.20   | 23—0             |
|     | 母(4) | 218.7      | 本地水田犁 | 壤土<br>粘土   |        |        |                       | 114—30    | 56.7    | 0.49    | 0.38   | 0.38       | 0.25   | 28—4             |
| 海南岛 | 公    | 250~450    |       |            |        |        |                       |           |         |         |        | 0.25       |        |                  |
|     | 母    | 200~350    |       |            |        |        |                       |           |         |         |        | 0.25       |        |                  |
| 四川  | 公    | 260~350    |       | 黄粘土        |        |        |                       |           |         |         |        | 0.35       |        |                  |
|     | 母    | 230~320    |       | 黄粘土        |        |        |                       |           |         |         |        | 0.35       |        |                  |
| 秦川  | 公(1) | 555        | 铁犁    | 中等干熟粘土     | 12.0   | 30     | 637.2                 |           | 100     |         |        |            |        | 30—0             |
|     | 公(1) | 705        | 5寸步犁  | 中等干熟粘土     | 18.0   | 24     | 332.5                 |           | 50~150  |         |        |            |        | 15—0             |
|     | 母(1) | 378        | 木犁    | 中等干熟粘土     | 15.0   | 34     | 468.0                 |           | 50~100  |         |        |            |        | 15—0             |
| 温州  |      | 340        |       |            |        |        |                       |           | 83      | 0.39    | 0.42   | 0.38       |        |                  |

时前后肢分担之体重而计算。由图 15-1 得：

$$W = W_1 + W_2,$$

$$W_1 \times AG = W_2 \times (AB - AG),$$

$$\bar{AG} = \bar{AB} \times \frac{W_2}{W}.$$

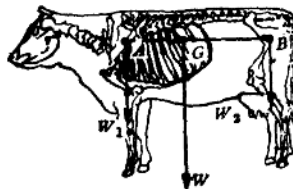


图 15-1 重心位置的测定。

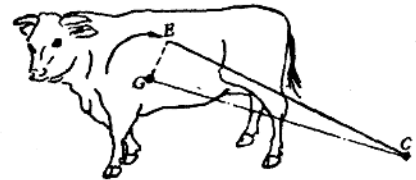


图 15-2 牵引线与重心。

**牵引线** 畜体上及农具上两牵引点的连线叫牵引线。牵引线必须通过畜体重心，不然将产生一力矩。如牵引线通过重心上方，如图15-2所示，则役畜后肢将承受额外负荷；如牵引线落在重心下方，则前肢将承受额外负荷。

**牵引角** 牵引线与水平所成之角称为牵引角。牵引角的大小对牵引力及牵引速度有很大影响。

牵引角愈大，则牵引力的垂直分力愈大而水平分

力愈小；相反，牵引角愈小，则垂直分力愈小而水平分力愈大。垂直分力增大时前肢摩擦阻力增大；水平分力增大时，后肢摩擦阻力增大。

前肢摩擦阻力增大时，后肢摩擦阻力减小，后肢容易迈进。所以牵引重物时应改变牵引角使前肢阻力增大，后肢阻力减小。但这时前肢举步困难，不得不放慢行进速度。

表15-18 国内外黄牛体尺比较表

| 品 种    | 性 别 | 统计<br>头数 | 平均体高<br>(厘米) | 胸 圆         |            | 体 长         |            | 管 圈         |            |
|--------|-----|----------|--------------|-------------|------------|-------------|------------|-------------|------------|
|        |     |          |              | 平均围<br>(厘米) | 胸围率<br>(%) | 平均长<br>(厘米) | 体长率<br>(%) | 平均围<br>(厘米) | 管围率<br>(%) |
| 江西广丰   | 公   | 8        | 111.8        | 154.4       | 138.1      | 128.1       | 114.6      | 15.6        | 13.95      |
|        | 母   | 155      | 105.7        | 144.9       | 137.1      | 122.5       | 115.9      | 14.1        | 13.3       |
| 江西吉安   | 公   | 3        | 102.5        | 138         | 134.6      | 120.7       | 117.7      | 14.2        | 13.8       |
|        | 母   | 258      | 100.1        | 136.4       | 136.4      | 116.8       | 116.7      | 13.1        | 13.1       |
| 河南南阳   | 公   | 45       | 140.9        | 186.5       | 131.9      | 156         | 111.4      | 18.9        | 13.4       |
|        | 母   | 73       | 126.6        | 164.8       | 131.9      | 140.7       | 110.4      | 15.6        | 13.2       |
| 陕西秦川   | 公   |          | 130~147      | 180~220     | 138.4~149  | 165~180     | 126.9~140  |             |            |
|        | 母   |          | 120~135      | 155~175     |            | 135~145     |            |             |            |
| 山东(西部) | 公   | 9        | 142.83       | 197.5       | 138.3      | 151.5       | 106.1      | 17.05       | 11.94      |
|        | 母   | 242      | 123.57       | 168.4       | 136.2      | 136.19      | 110.2      | 15.58       | 12.6       |
| 浦东薄足   | 公   | 10       | 132.85       | 186.44      | 140.33     | 144.90      | 109.70     | 19.33       | 14.55      |
|        | 母   | 37       | 122.20       | 169.32      | 138.55     | 134.74      | 110.26     | 17.08       | 13.88      |
| 广西(北部) | 公   | 102      | 106          | 145         | 136.8      | 112         | 105.7      |             |            |
|        | 母   | 112      | 99           | 135         | 136.4      | 165         | 106.1      | 13.35       | 13.5       |
| 广东海南   | 公   |          |              | 157.3       |            | 130.9       |            | 15          |            |
|        | 母   |          | 105.8        | 140.7       |            | 116.8       | 110.4      | 13          | 12.3       |
| 江西高安   | 公   | 3        | 111.5        | 147.3       | 134.9      | 129.7       | 116.3      | 15.2        | 13.6       |
|        | 母   | 216      | 101.1        | 139         | 137        | 120.8       | 119        | 13.5        | 13.3       |
| 湖 南    | 公   | 30       | 115          | 165         | 143        | 130         | 113        |             |            |
|        | 母   | 163      | 110          | 140         | 127        | 125         | 113        |             |            |
| 贵 州    | 公   | 40       | 119          | 167         | 140        | 120         | 100        |             |            |
|        | 母   | 153      | 103          | 138         | 134        | 113         | 109        |             |            |
| 四 川    | 公   | 38       | 126          | 170         | 135        | 130         | 103        |             |            |
|        | 母   | 186      | 110          | 140         | 127        | 120         | 109        |             |            |

(續)

| 品种    | 性别 | 统计头数 | 平均体高<br>(厘米) | 胸围          |            | 体长          |            | 管围          |            |
|-------|----|------|--------------|-------------|------------|-------------|------------|-------------|------------|
|       |    |      |              | 平均值<br>(厘米) | 胸围率<br>(%) | 平均长<br>(厘米) | 体长率<br>(%) | 平均围<br>(厘米) | 管围率<br>(%) |
| 蒙古    | 公  |      | 120~130      | 180         | 144        | 140~153     | 117        |             |            |
|       | 母  |      | 115~120      | 160         | 135        | 134~142     | 116~118    |             |            |
| 荷兰    | 公  |      | 142.5        | 205         | 143.8      | 175         | 121.4      | 24          | 16.8       |
|       |    |      |              |             |            |             |            |             |            |
| 爱沙    | 公  |      | 134          | 205.5       | 153.3      | 135         | 100.7      | 24          | 17.9       |
|       |    |      |              |             |            |             |            |             |            |
| 新西兰   | 公  |      | 133          | 192         | 144.3      | 151.5       | 139        | 19.5        | 14.6       |
|       |    |      |              |             |            |             |            |             |            |
| 短角    | 公  | 90   | 136.2        | 210         | 154.1      | 166         | 121.9      | 22          | 16.1       |
|       | 母  | 103  | 128          | 200         | 156.2      | 155.4       | 121.4      | 19.1        | 14.9       |
| 西门达尔  |    |      |              |             |            |             |            |             |            |
|       | 母  |      | 136.1        | 196.7       | 144.5      | 175.7       | 129.1      | 19.9        | 14.6       |
| 乌克兰草原 |    |      |              |             |            |             |            |             |            |
|       | 母  |      | 134          | 182.7       | 136.3      | 171.8       | 128.2      | 14.39       | 10.74      |

需要的时间和呼吸、脉搏及体温恢复正常所需的时间来测定和比较。表 15-19 列有驴的驮负能力。

役畜的驮负能力是以其驮负一定重量，走一定距离所

表 15-19 驴的驮负能力

| 类别或产地 | 性别 | 体重(公斤) | 驮负重量①(公斤) | 行走距离(米) | 所需时间(分秒) | 生理状态②恢复时间(分秒) |
|-------|----|--------|-----------|---------|----------|---------------|
| 关中    | 公  | 252    | 150.5     | 1000    | 13'~14"  | 15'~0         |
|       | 母  | 267.25 | 149.25    | 1000    | 13'~17"  | 16'~15"       |
|       |    | 244    | 148       | 1000    | 12'~4"   | 15'~0         |
| 小型    | 公  | 176    | 109.5     | 1000    | 15'~39"  | 5'~0"         |
|       | 母  | 215.5  | 110.25    | 1000    | 17'~29"  | 7'~30"        |

① 包括鞍重。

② 生理状态包括呼吸、脉搏及体温。

表 15-20 马驴骡平均体尺表  
(厘米)

| 畜别  | 性<br>别 | 统<br>计<br>头<br>数 | 平均体高<br>(范围)         | 胸<br>围               |            | 体<br>长              |            | 管<br>围             |            | 平均体重<br>(公斤)<br>(范围) |
|-----|--------|------------------|----------------------|----------------------|------------|---------------------|------------|--------------------|------------|----------------------|
|     |        |                  |                      | 平均值<br>(范围)          | 胸围率<br>(%) | 平均值<br>(范围)         | 体长率<br>(%) | 平均值<br>(范围)        | 管围率<br>(%) |                      |
| 三河马 | 公      | 35               | 146.9<br>(136~156.9) | 164.2<br>(158~178.5) | 115.2      | 152.0<br>(143~159)  | 103.5      | 19.7<br>(18~21.7)  | 13.4       | 362.5<br>(265~430)   |
|     | 母      | 35               | 146.5<br>(136~154)   | 170.76<br>(159~180)  | 118.2      | 150.97<br>(139~167) | 104.5      | 19.09<br>(17~20.5) | 13.2       | 383<br>(282~520)     |

(續)

| 畜 别   | 性 别 | 统计头数 | 平均体高<br>(范围)          | 胸 圆                   |            | 体 长                  |            | 管 間                  |            | 平均体重<br>(公斤)<br>(范围)  |
|-------|-----|------|-----------------------|-----------------------|------------|----------------------|------------|----------------------|------------|-----------------------|
|       |     |      |                       | 平均值<br>(范围)           | 胸圆率<br>(%) | 平均值<br>(范围)          | 体长率<br>(%) | 平均值<br>(范围)          | 管圆率<br>(%) |                       |
| 关中驴   | 公   | 21   | 133.48<br>(125.5~142) | 147.05<br>(136~155)   | 110.1      | 137.29<br>(132~144)  | 102.8      | 16.93<br>(15~18)     | 12.6       | 296.97<br>(249.5~337) |
|       | 母   | 228  | 126.6<br>(110~143)    | 138.95<br>(122~155.5) | 109.8      | 129.69<br>(104~149)  | 102.4      | 15.56<br>(12.5~19.5) | 12.3       | 256.13<br>(174.5~325) |
| 山东大型驥 |     | 18   | 135.1<br>(131~143.5)  | 141.8<br>(133~153)    | 104.96     | 134.9<br>(123.5~150) | 99.85      | 16<br>(14~19)        | 11.84      | 245.2<br>(200~305)    |
| 凤翔小型驥 | 公   | 2    | 109                   | 118                   |            | 113.5                |            | 14.5                 |            | 170.5                 |
|       | 母   | 3    | 115.6                 | 130                   |            | 118.3                |            | 14.6                 |            | 83.26                 |
| 关中驥   | 母   | 5    | 142.1<br>(139~147)    | 171<br>(166~174)      |            | 144.9<br>(141~150)   |            | 17.2<br>(16~18)      |            | 415.4<br>(383~442)    |

### 第三节 風力机

#### 1 緒 言

##### 風力对实现我国农业机械化电气化的意义

在宇宙間，風的能量是极巨大的，它大大地超过了水流的能量，也大于液体和固体燃料的能量的总和，

表15-21 不同風速时的现象

| 風級 | 風速<br>(米/秒) | 名 称 | 現 象         |
|----|-------------|-----|-------------|
| 0  | 0~0.2       | 无風  | 炊烟直上        |
| 1  | 0.3~1.5     | 軟風  | 炊烟稍斜        |
| 2  | 1.6~3.3     | 輕風  | 树叶搖动        |
| 3  | 3.4~5.4     | 微風  | 細小的树枝搖摆     |
| 4  | 5.5~7.9     | 和風  | 尘土飞揚        |
| 5  | 8.0~10.7    | 清風  | 細小的树干搖摆     |
| 6  | 10.8~13.8   | 強風  | 較粗的树枝搖摆     |
| 7  | 13.9~17.1   | 疾風  | 树的上部搖摆      |
| 8  | 17.2~20.7   | 大風  | 能吹折細小的树枝和枯枝 |
| 9  | 20.8~24.4   | 烈風  | 能揭去烟筒上的磚瓦   |
| 10 | 24.5~28.4   | 狂風  | 能把大树根部吹折    |
| 11 | 28.5~32.6   | 暴風  | 松树被连根拔起     |
| 12 | 32.6以上      | 颶風  | 有很大破坏性      |

根据苏联拉扎列夫 (П. П. Лазарев) 院士断定，全世界每年燃燒的煤的能量，只有風力在一年內可提供的能量的三千分之一。

我国幅員辽闊，沿海及西北一带年平均風速均在每秒 3 米以上，一般最合适的風速是 3~8 米/秒。一般在一平方公里面积内安装 18 米直徑的風車數量应不超过 16 台，这样風力才能得到充分利用。一台 18 米直徑的風力发电设备，在年平均風速 5 米/秒的情况下，一年可以发出 5 万度电。那么一平方公里的風力如果充分利用了，每年就可以得到 80 万度的电能。由此可以大致估計出風力資源的蘊藏量。

風力在工农业生产中的用途是极其广闊的，現在已被人們用来灌溉、排水、耕田、脱粒、驅谷、清粮、磨粉、飼料粉碎、铡草、作颗粒肥料、彈花、軋花、打草绳、鋸木、运土、榨油、通風、磨土水泥、給水等多种作业。此外，还可利用風力发电冲蓄電瓶，作为农村电话、广播、无线电的电源。

#### 風力机的类型及其主要构成部分

**風力机的类型** 風力机是利用風力作用在主要部件風輪上，使風能轉換成机械功的发动机。根据風輪的构造及其在風中的位置，可将風力机分成四种类型：

- (1) 翼式風力机；(2) 走馬灯式和轉子式風力机；(3) 鼓形風力机；(4) 活翼式風力机。

**翼式風力机** 在这类風力机中，各桨叶都装在風輪旋转平面的半徑方向，垂直于旋转轴，而和風輪旋转平面成一角度 $\varphi$ （图15-3 a）。当風力机正常运转时，風輪旋转平面和風向垂直。

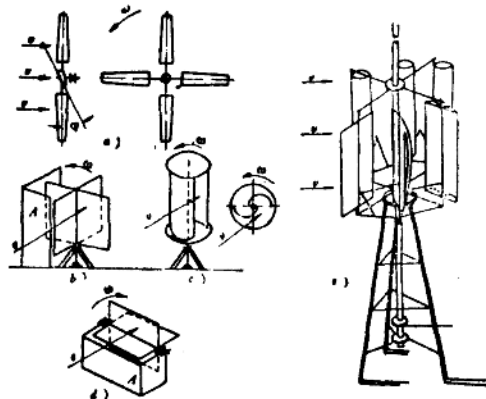


图15-3 風力机的类型：  
a—翼式風力机；b—走馬灯式風力机；c—轉子式風力机；d—鼓形風力机；e—活翼式風力机。

風力机用途的不同，風輪的桨叶数目也不同；因此，翼式風力机又可分为两种型式：寡叶式高速風力机——桨叶数目1~4片；多叶式低速風力机——桨叶数目多于4片，少于24片。

苏联風力机进一步发展的方向，主要是制造高速風力机。

翼式風力机的風能利用系数約为0.30~0.42。

**走馬灯式和轉子式風力机** 在这类風力机中，風輪軸铅直地安装，当風輪旋转时，旋转軸一侧桨叶的运动方向和風向一致，而另一侧桨叶的运动方向则和風向相反（图15-3 b、c），为了减少运动方向和風向相反的那部分桨叶所受的阻力，可用屏板A将这一部分遮住（走馬灯式），或将桨叶做成曲面（轉子式）。桨叶做成曲面时，作用在旋转軸一侧凹面上的風力，显然較作用在另一侧凸面上的風力为大，因而風輪能轉动。

这类風力机的風能利用系数約为0.10~0.18。

**鼓形風力机** 这类風力机（图15-3 d）的构造原理和走馬灯式風力机相同，只是旋转軸安装在水平方向。

这类風力机的風能利用系数約为0.10~0.18。

**活翼式風力机** 在这类風力机中（图15-3 e），風輪軸安在鉛直位置，風輪旋转时，当桨叶的运动方向和風向一致，桨叶便自动張开承受最大推力；当桨

叶的运动方向和風向相反时，桨叶自动折成阻力很小的形体，因此称为活翼式風力机。它的風輪可分为三种型式，如图15-4所示。

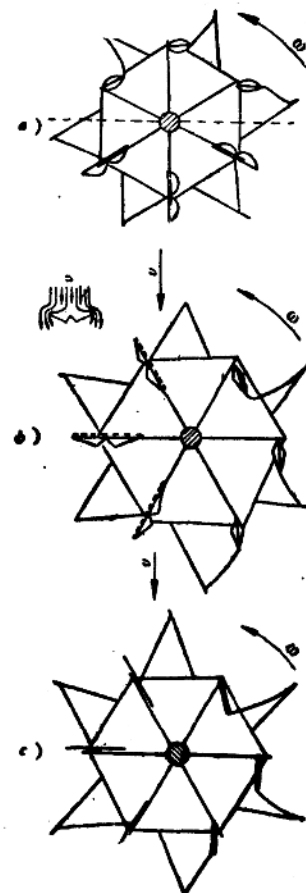


图15-4 活翼式風力机的風輪型式：  
a—双瓢（流线翼風輪）；b—双瓢（剪翼風輪）；c—双瓢（板翼風輪）。

这类風力机的風能利用系数約为0.24~0.32。

由于走馬灯式風力机和鼓形風力机的效率较低，而且构造笨重，因而实际很少应用。以后討論范围只限于翼式風力机。

**風力机的主要构成部分 翼式風力机**（图15-5）的主要构成部分为：風輪、机头、机尾、塔身、变速器和調速机构。

**風輪**是将風能轉变为机械功的部件。一个桨叶便和垂直固定在風輪軸上的一个桨杆組成一个輪翼。

**机头**实际上就是裝置風輪軸和上部傳动机构的支座；其形式随風力机的型式而不同，为了使風輪能够

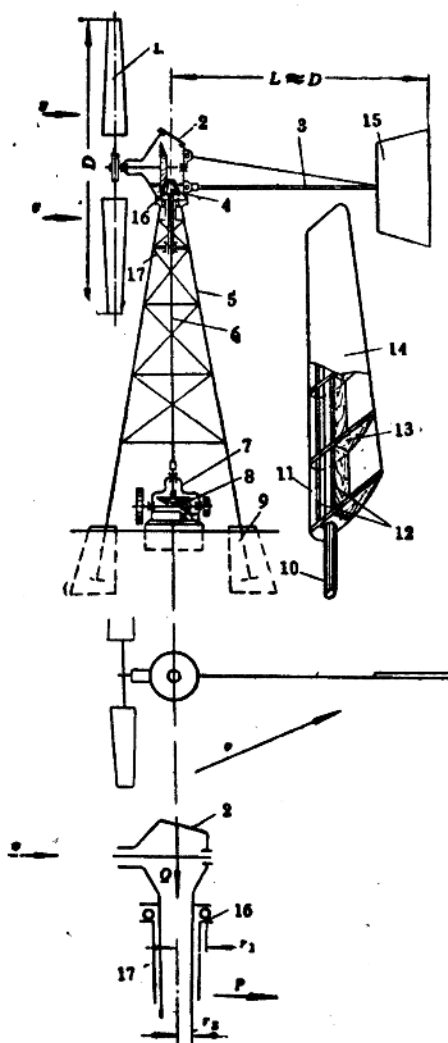


图15-5 簇式风力机：

1—風輪；2—机头；3—机尾；4, 8—傳動齒輪；  
5—塔身；6—垂直軸；7—变速器；9—基础；10—  
轴杆；11—葉片；12—葉梁；13—葉肋；14—葉  
壳；15—尾翼；16—上轴承；17—下轴承。

經常迎風，机头必须能和風輪一起繞塔身支座中的垂直軸轉動。

机尾是和机头連接在一起的。它的功用是要使風輪能經常迎風。其作用原理恰和維爾達風信旗中的風向器一样。

塔身的功用是将風輪架設在很少受地面障碍影响的高空中。功率較小的風力机也可装在用拉绳加固的杆子或管子上。

变速器的功用是将風力机的运动按一定的速比傳

給工作机械。当風力机只带动往复式水泵时(如TB-5型風力机)，常将曲柄机构装在机头上，因而就沒有变速器。在小功率風力发电装置中，发电机直接装在机头中，因而也沒有裝置变速器的必要。

調速机构的作用是限制風輪的轉速，以免風速过大時風輪轉動太快。

## 2 風力机的基本理論

### 阻力和升力

当气流流經物体时，它所形成的阻力，也就是氣流作用在物体上的压力，是随着物体的形状及其在气流中的位置而不同。气流流經物体时所生的渦流愈大，则阻力也愈大；如果物体的形状及其在气流中的位置不会引起很大的渦流，那么它的阻力也就很小(图15-6)。

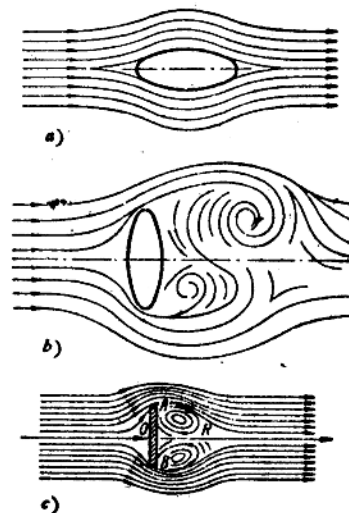


图15-6 气流流經不同形状的物体时的情况：

a—流線型物体沿气流方向放置；b—流線型  
物体垂直于气流方向放置；c—平板垂直于气  
流方向放置。

由实验得知，阻力的大小可按下列等式計算，即

$$X = C_x F_x \frac{\rho v^2}{2},$$

式中  $F_x$ —物体在垂直于气流方向的平面上的投影  
面积；

$\rho$ —空气的质量密度；

$C_x$ —阻力系数。

在表 15-22 中列有各种形状的物体的阻力系数。

由表可知：曲頂圓錐的  $C_x = 0.22$ ，而将两个这样的錐

体底部相接而成迴轉椭球时，其  $C_x = 0.044$ ，仅及曲頂圓錐  $C_x$  的  $1/5$ 。

当将平板放置在气流中，和气流方向成一角度（这个角度叫做冲角） $\alpha$  时，则沿气流方向的阻力（图 15-7）叫做正面阻力。正面阻力的数值

$$X = C_x S \frac{\rho v^2}{2},$$

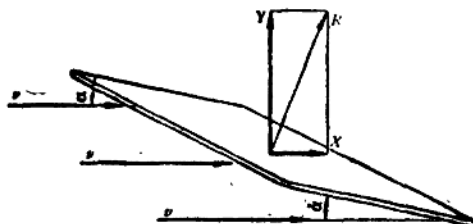


图 15-7 平板在气流中的阻力和升力。

式中  $S$  —— 平板面积；

$C_x$  —— 随冲角  $\alpha$  而变化的正面阻力系数。

此外，平板上还受到一个垂直于气流方向的升力

$$Y = C_y S \frac{\rho v^2}{2},$$

式中  $C_y$  —— 升力系数。

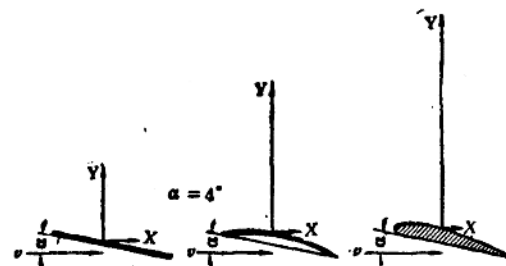


图 15-8 不同断面形状的薄板的升力。

表 15-22 各种形状物体的阻力系数

| 物体名称 | 物体形状 | $F_x$               | 物体两边<br>长度之比   | 试验速度<br>$v$ (米/秒) | 阻力系数<br>$C_x$              | 雷诺数  |
|------|------|---------------------|--|-------------------|----------------------------|--|
| 圆板   |      | $\frac{\pi d^2}{4}$ | —  | —                 | 1.06~1.28                  | $10.7 \times 10^4$<br>$\sim 227 \times 10^4$ |
| 圆锥   |      | $\frac{\pi d^2}{4}$ | —  | 10                | 0.34                       | $2.7 \times 10^5$                            |
| 曲项圆锥 |      | $\frac{\pi d^2}{4}$ | —  | —                 | 0.22                       | —  |
| 迴轉椭球 |      | $\frac{\pi d^2}{4}$ | —  | —                 | 0.044                      | —  |
| 矩形板  |      | $a \times b$        | $a \begin{cases} 1 \\ 4 \end{cases}$<br>$b \begin{cases} 10 \\ \infty \end{cases}$ | —<br>—<br>—<br>—  | 1.1<br>1.1<br>1.28<br>1.87 | $10.7 \times 10^4$<br>$\sim 227 \times 10^4$ |
| 圆球   |      | $\frac{\pi d^2}{4}$ | —  | —                 | 0.44                       | $10^5$                                       |
| 半球   |      | $\frac{\pi d^2}{4}$ | —  | —                 | 0.33                       | —  |
|      |      | $\frac{\pi d^2}{4}$ | —  | —                 | 1.34                       | —  |
| 球底圆锥 |      | $\frac{\pi d^2}{4}$ | —  | 10                | 0.16                       | $1.35 \times 10^5$                           |
|      |      | $\frac{\pi d^2}{4}$ | —  | 10                | 0.088                      | $1.35 \times 10^5$                           |
| 圆柱   |      | $\frac{\pi d^2}{4}$ | $I = 7$  | $10 \sim 30$      | 0.84                       | $10^5 \sim 3 \times 10^5$                    |

(续)

| 物体名称 | 物体形状  | $F_x$               | 物体两边<br>长度之比  | 试验速度<br>$v$ (米/秒) | 阻力系数<br>$C_x$  | 雷诺数                       |
|------|---|---------------------|---|-------------------|--|---------------------------|
| 球底圆柱 |  | $\frac{\pi d^2}{4}$ | $\frac{l}{d} = 7$   | 10~30             | 0.22~0.28  | $10^5 \sim 3 \times 10^5$ |
| 圆柱   |  | $ld$                | $\frac{l}{d} \left\{ \begin{array}{l} 1 \\ 5 \\ 40 \end{array} \right.$ | 30                | $\left. \begin{array}{l} 0.63 \\ 0.74 \\ 1.2 \end{array} \right\}$ | $8.8 \times 10^4$         |

在风轮桨叶上，升力 $Y$ 可使风轮转动；在飞机的机翼上，升力 $Y$ 可使飞机上升。我们必须通过实验和研究来求得升力最大而阻力最小的桨叶断面。

图15-8表示当冲角相同( $\alpha = 4^\circ$ )时，作用在三种不同形状的薄板上的升力。显然，流线型断面薄板的升力要比平板的升力大得多。

如果流线型断面的表面非常粗糙，那么同样也会引起湍流，增加阻力。因此，风轮桨叶表面必须非常光滑。

各种不同断面形状桨叶的空气动力性能，可用升力系数和阻力系数的比值来表示，即

$$K = \frac{C_y}{C_x}.$$

也可用阻力系数和升力系数的比值来表示，即

$$\mu = \frac{C_x}{C_y}.$$

将上式代入前式，得

$$K = \frac{1}{\mu}.$$

### 桨叶式风力机风轮的工作原理

当风轮的旋转轴和风向重合时(图15-9)，作用在桨叶的作用力 $R$ 的分力 $Y$ 在风轮旋转平面内，形成扭力矩 $M_{xp}$ 使风轮旋转。

风轮静止时，气流对桨叶的相对速度就是风速；但当风轮旋转后，气流将以较低速度 $v'$ 作用在桨叶上。同时，由于桨叶的旋转，又引起了和桨叶运动方向相反的气流速度，其大小等于桨叶的圆周速度。由于桨叶上各点距旋转轴的距离不同；因此，各截面上的圆周速度( $\omega r$ )

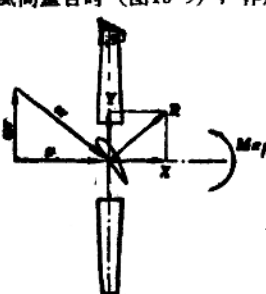


图15-9 风轮在气流中  
的工作位置。

也不相同(图15-10)。将 $v'$ 和 $\omega r$ 按矢量加法相加，即得气流对桨叶的相对速度 $w$ (图15-11)即

$$w = \sqrt{v'^2 + (\omega r)^2}.$$

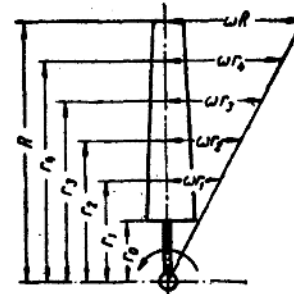


图15-10 桨叶各截面上的圆周速度。

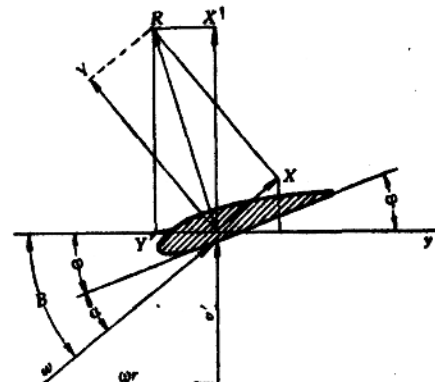


图15-11 当桨叶旋转时，气流对桨叶的相对速度及桨叶上所受的作用力。

以相对速度 $w$ 冲击桨叶各部分的气流，在气流(相对)流动方向上产生阻力 $X$ ，在和气流(相对)流动垂直的方向上产生升力 $Y$ ，它们的合力是 $R$ 。合力 $R$ 在风轮平面 $yy'$ 内的分力 $Y'$ 便形成一扭力矩使风轮转动；分力 $X'$ 则为正面压力。